

- [8] Корольков В.И. В сб.: Фотоприемники и фотопреобразователи. Л.: Наука. 1986. С. 6-36.
- [9] Baglee D.A., Ferry D.K., C.W. Williams, H.H. Wieden. J. Vac. Sci. Techn. 1980. N 17. С. 1032-1036.
- [10] Михайлова М.П., Рогачев А.А., Яссиевич И.Н. ФТП. 1976. Т. 10. Вып. 10. С. 866-875.
- [11] Жигарев М.З., Корольков В.И., Михайлова М.П., Яссиевич И.Н. Письма в ЖТФ. 1979. Т. 4. Вып. 5. С. 355-360.
- [12] Михайлова М.П., Слободчиков С.В., Смирнова Н.Н., Филаретова Г.М. ФТП. 1976. Т. 10. Вып. 5. С. 978-980.

Физико-технический институт  
им. А.Ф. Иоффе АН СССР,  
Ленинград

Поступило в Редакцию  
24 августа 1989 г.

Письма в ЖТФ, том 16, вып. 4  
05.4

26 февраля 1990 г.

© 1990

## ВЛИЯНИЕ ПРИМЕСЕЙ АЛЮМИНИЯ И ИНДИЯ НА СВЕРХПРОВОДИМОСТЬ $Bi_2Sr_2CaCu_2O_y$

Е.М. Голубов, Н.А. Пряткова,  
Ж.М. Томило, Д.М. Турцевич,  
М.С. Целуевский, Н.М. Шиманская

С открытием высокотемпературной сверхпроводимости, наряду с фундаментальными исследованиями этого явления возникли задачи чисто прикладного характера, в частности, возможности использования сверхпроводящих металлооксидных материалов в микроэлектронике. При изучении этой проблемы в связи с задачей стабильности параметров ВТСП большое внимание уделяется взаимодействию сверхпроводящих металлооксидов с материалами, широко используемыми в микроэлектронике, например, материалами подложек ( $MgO$ ,  $ZrO_2$ ,  $Al_2O_3$ ,  $Si$ ,  $SrTiO_3$ , и др.), и при изготовлении электроконтактов, поскольку термообработка контактирующих материалов приводит к взаимной диффузии атомов различных элементов, что отражается на свойствах изделий [1-6].

Нами проведено исследование влияния примесных добавок окиси алюминия, часто используемого в качестве подложек в тонкопленочных устройствах, и окиси индия (индий и его сплавы применяются для изготовления электрических контактов в криоустройствах) в металлооксид  $Bi_2Sr_2CaCu_2O_y$  ("2212") на его сверхпроводящие свойства. Был проведен синтез и исследованы свойства об-

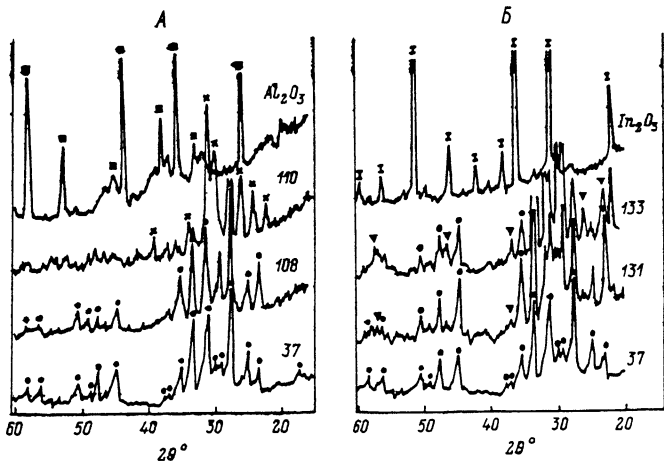


Рис. 1. Дифрактограммы образцов: А – системы  $\text{Bi}_2\text{Sr}_2\text{Al}_x\text{Ca}\text{Cu}_2\text{O}_y$  с  $x=0$  (91 – ●),  $x=1.0$  (108),  $x=3.0$  (110),  $\text{Al}_2\text{O}_3$  (■), х – неизвестная фаза; Б – система  $\text{Bi}_2\text{Sr}_2\text{In}_x\text{Ca}\text{Cu}_2\text{O}_y$  с  $x=0$  (92 – ●),  $x=0.5$  (131),  $x=2.0$  (133),  $\text{In}_2\text{O}_3$  (I), ▨ – неизвестная фаза.

разцов составов:  $\text{Bi}_2\text{Sr}_2\text{Al}_x\text{Ca}\text{Cu}_2\text{O}_y$  и  $\text{Bi}_2\text{Sr}_2\text{In}_x\text{Ca}\text{Cu}_2\text{O}_y$  с  $0 \leq x \leq 5.0$ . Синтез образцов проводился методом твердофазной реакции при температурах 800–870 °С на воздухе из смеси мелкодисперсных порошков окислов  $\text{Bi}_2\text{O}_3$ ,  $\text{Al}_2\text{O}_3$ ,  $\text{In}_2\text{O}_3$ ,  $\text{CuO}$  и карбонатов  $\text{SrCO}_3$ ,  $\text{CaCO}_3$ .

Рентгенофазовый анализ синтезированных образцов проводился в  $\text{CuK}\alpha$  – излучении на дифрактометре ДРОН-3. Дифрактограммы показали, что при введении в шихту состава  $\text{Bi}_2\text{Sr}_2\text{Ca}\text{Cu}_2\text{O}_y$  алюминия в количестве  $x \leq 2.0$  ( $\leq 12$  ат.%) основной фазой является "2212". На дифрактограммах образцов с  $x > 1.0$  появляются отражения, не относящиеся ни к  $\text{Al}_2\text{O}_3$ , ни к фазе "2212". Интенсивность этих отражений возрастает с увеличением содержания алюминия, тогда как количество сверхпроводящей фазы "2212" уменьшается. При добавлении индия в  $\text{Bi}_2\text{Sr}_2\text{Ca}\text{Cu}_2\text{O}_y$ , начиная с  $x=0.1$ , на дифрактограммах, в отличие от добавления алюминия в тех же количествах, появляются линии отражения, относящиеся к  $\text{In}_2\text{O}_3$ . Также можно отметить появление новых фаз при малых добавках индия. Рентгенофазовый анализ показал, что количество  $\text{In}_2\text{O}_3$  и новой фазы растет с увеличением содержания индия в образцах. Наблюдение за изменением параметров кристаллической решетки  $\text{Bi}_2\text{Sr}_2\text{Ca}\text{Cu}_2\text{O}_y$  в результате введения примесных добавок свидетельствует о том, что алюминий и индий в небольших количествах ( $\sim 3$  ат. %) входят в решетку "2212".

Наряду с рентгеноструктурным фазовым анализом был проведен микролокальный рентгеноспектральный анализ, показавший, что ато-

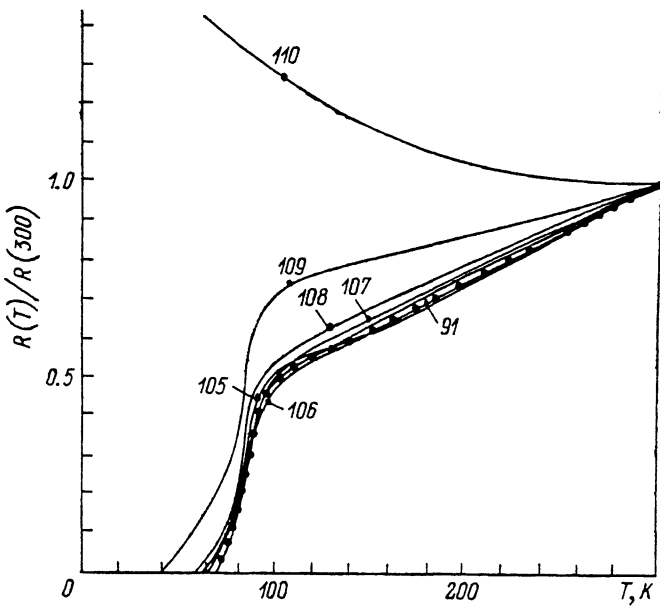


Рис. 2. Зависимость  $R(T)/R(300 \text{ К})$  для образцов  $\text{Bi}_2\text{Sr}_2\text{Al}_x\text{CaCu}_2\text{O}_y$ :  $x=0$  (91),  $x=0.1$  (105),  $x=0.3$  (106),  $x=0.5$  (107),  $x=1.0$  (108),  $x=2.0$  (109) и  $x=3.0$  (110).

мы вводимых примесей располагаются не только на границах зерен, но и входят в ограниченном количестве в решетку соединения  $\text{Bi}_2\text{Sr}_2\text{CaCu}_2\text{O}_y$ , причем степень растворимости алюминия больше, чем индия.

На рис. 1, а, б представлены дифрактограммы образцов  $\text{Bi}_2\text{Sr}_2\text{Al}_x\text{CaCu}_2\text{O}_y$  и  $\text{Bi}_2\text{Sr}_2\text{In}_x\text{CaCu}_2\text{O}_y$  с достаточно большим содержанием добавок, но обладающих сверхпроводящими свойствами (образцы 108 и 131 с  $x=1.0$  и  $x=0.5$  соответственно), и образцов, не обладающих сверхпроводимостью (образцы 110 и 133 с  $x=3.0$  и  $x=2.0$  соответственно). Под номерами 91 и 92 приведены дифрактограммы образцов  $\text{Bi}_2\text{Sr}_2\text{CaCu}_2\text{O}_y$  без примесей.

Из измерений температурной зависимости электросопротивления  $R(T)$  в интервале температур 4.2–300 К образцов состава  $\text{Bi}_2\text{Sr}_2\text{Al}_x\text{CaCu}_2\text{O}_y$  (рис. 2) следует, что температура начала сверхпроводящего перехода  $T_K^H$  не изменяется существенно при добавлении алюминия в количестве  $0 \leq x \leq 2.0$ . Температура окончания сверхпроводящего перехода  $T_K^0$  при этом уменьшается с  $\sim 70 \text{ К}$  ( $x=0$ ) до  $\sim 40 \text{ К}$  ( $x=2.0$ ). Наблюдается уменьшение  $dR/dT$  с возрастанием содержания алюминия до  $x=2.0$ . Дальнейшее увеличение содержания алюминия в образцах  $\text{Bi}_2\text{Sr}_2\text{CaCu}_2\text{O}_y$  приводит к исчезновению сверхпроводимости и к неметаллическому характеру  $R(T)$ .

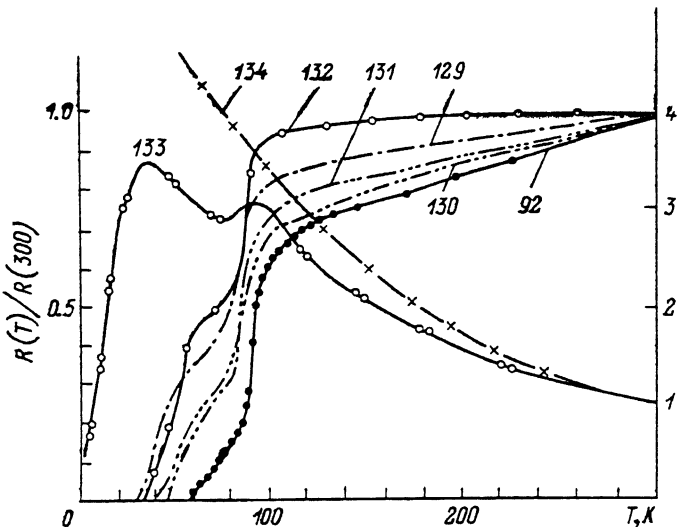


Рис. 3. Зависимость  $R(T)/R(300 \text{ К})$  для образцов  $\text{Bi}_2\text{Sr}_2\text{In}_x\text{CaCu}_2\text{O}_y$ :  $x=0$  (92),  $x=0.1$  (129),  $x=0.3$  (130),  $x=0.5$  (131),  $x=1.0$  (132),  $x=2.0$  (133) и  $x=3.0$  (134).

Аналогичные изменения происходят и в случае добавки индия в  $\text{Bi}_2\text{Sr}_2\text{CaCu}_2\text{O}_y$  с тем различием, что  $T_{\text{K}}^{\text{O}}$  уменьшается более резко с возрастанием содержания индия до  $x=1.0$  (рис. 3). Образцы, содержащие  $\text{In}$  в количестве  $x=2.0$ , имеют сложную зависимость  $R(T)$  с  $T_{\text{K}}^{\text{H}} \sim 30 \text{ К}$ . При  $T=4.2 \text{ К}$  они не переходят в сверхпроводящее состояние. С последующим увеличением содержания индия в образцах  $\text{Bi}_2\text{Sr}_2\text{CaCu}_2\text{O}_y$  наблюдается полупроводниковая, а затем и диэлектрическая зависимости  $R(T)$ .

Заметим, что в дополнение к результатам, приводимым в [7], мы провели исследование влияния на сверхпроводимость  $\text{Bi}_2\text{Sr}_2\text{CaCu}_2\text{O}_y$  примесных добавок магния в больших количествах ( $2.0 \leq x \leq 10.0$ ), чем это было сделано ранее. Оказалось, что добавление  $Mg$  даже в таких больших количествах сильно не изменяет  $T_{\text{K}}^{\text{H}}$ .  $T_{\text{K}}^{\text{O}}$  уменьшается до 52 К при  $x=10.0$ . Исследование профилей отражений, фазового состава, параметров решетки  $\text{Bi}_2\text{Sr}_2\text{Mg}_x\text{CaCu}_2\text{O}_y$  в зависимости от количества введенного магния показало, что магний растворяется примерно до  $x=0.5$  [7], дальнейшее увеличение  $Mg$  приводит к накоплению его в межзеренном пространстве, что подтверждает микролокальный рентгеноспектральный анализ.

Результаты проведенных исследований показали, что сверхпроводящие свойства висмутового металлооксида  $\text{Bi}_2\text{Sr}_2\text{CaCu}_2\text{O}_y$  более стабильны в случае введения примесных добавок магния. Добавление же индия вызывает наибольшую деградацию сверхпроводящих свойств его.

# Список литературы

- [1] Chu C.W., Bechtold J., Gao L. et al. // Phys. Rev. Lett. 1988. V. 60. P. 941.
- [2] Александров К.С., Васильев А.Д., Звегинцев С.А. и др. // Письма в ЖЭТФ. 1988. Т. 47. С. 478.
- [3] Jin S., Sherwood R.C., Tieff T.H. et al // Appl. Phys. Lett. 1988. V. 52. P. 1628.
- [4] Morigishi K., Ogawa Y., Ikushima A. // Jap. J. Appl. Phys. Part 2, 1988. v. 27. P. L2330.
- [5] Антонова Е.А., Рузинов В.А., Старк С.Ю. // Письма в ЖТФ. 1988. Т. 14. Вып. 10. С. 908.
- [6] Suzuki T., Yamazaki T., Konukitsu A. et al. // J. Mat. Sci. Lett. 1989. V. 8. P. 19.
- [7] Гололобов Е.М., Пряткова Н.А., Томило Ж.М. и др. // Письма в ЖЭТФ. 1988. Т. 48. С. 384.

Институт физики твердого тела  
и полупроводников АН БССР,  
Минск

Поступило в Редакцию  
10 мая 1989 г.  
В окончательной редакции  
6 декабря 1989 г.

Письма в ЖТФ, том 16, вып. 4  
01; 05.4  
© 1990

26 февраля 1990 г.

## РАСЧЕТ ТОКОВОЙ СТРУКТУРЫ ПРОДВИЖЕНИЯ МАГНИТНЫХ ВИХРЕЙ В СВЕРХПРОВОДЯЩИХ МИКРОЭЛЕКТРОННЫХ УСТРОЙСТВАХ

А.Н. Артемов, А.М. Гришин,  
В.В. Пермяков

1. Существует ряд предложений по созданию устройств памяти на вихрях Абрикосова [1-4]. В этих устройствах запись информации производится по принципу наличия или отсутствия вихря в данной битпозиции, а продвижение вихрей осуществляется действием тока в сверхпроводящей пленке, содержащей вихрь, или в токовых аппликациях. Экспериментально уже созданы и исследованы простейшие тестовые структуры, моделирующие отдельные ячейки памяти на магнитных вихрях (МВ) [3, 5, 6].

В настоящей работе выполнен расчет силы, действующей на одиночный вихрь в сверхпроводящей пленке, в простейшей токовой струк-